











Modélisation opérationnelle du devenir du césium des bassins versants à l'océan

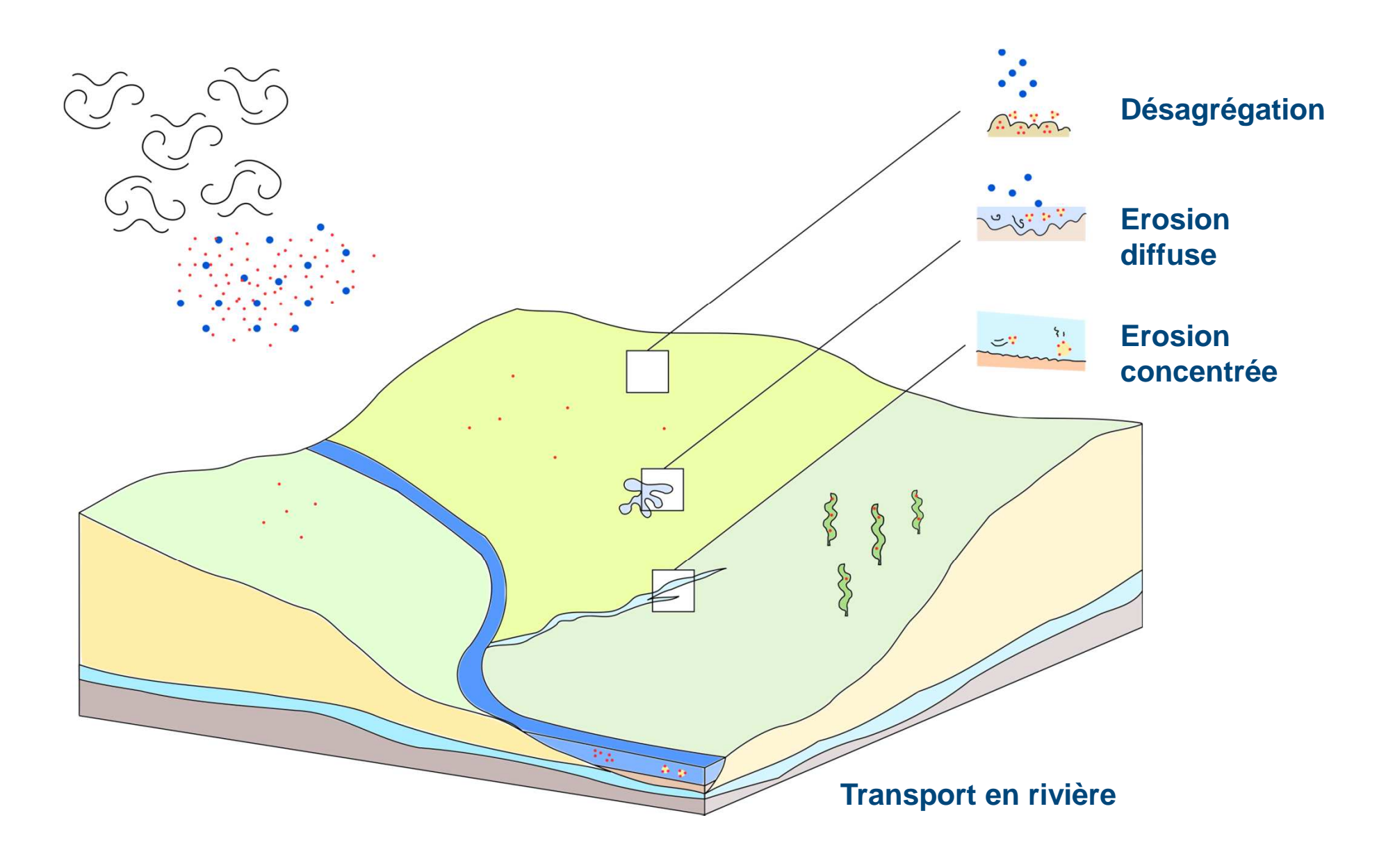
Faire avancer la sûreté nucléaire

L. Garcia-Sanchez¹, M. Delmas¹, V. Nicoulaud¹, J.M. Métivier¹, P. Boyer¹, F. Eyrolle-Boyer¹, A. De Vismes², X. Cagnat², Y. Onda³

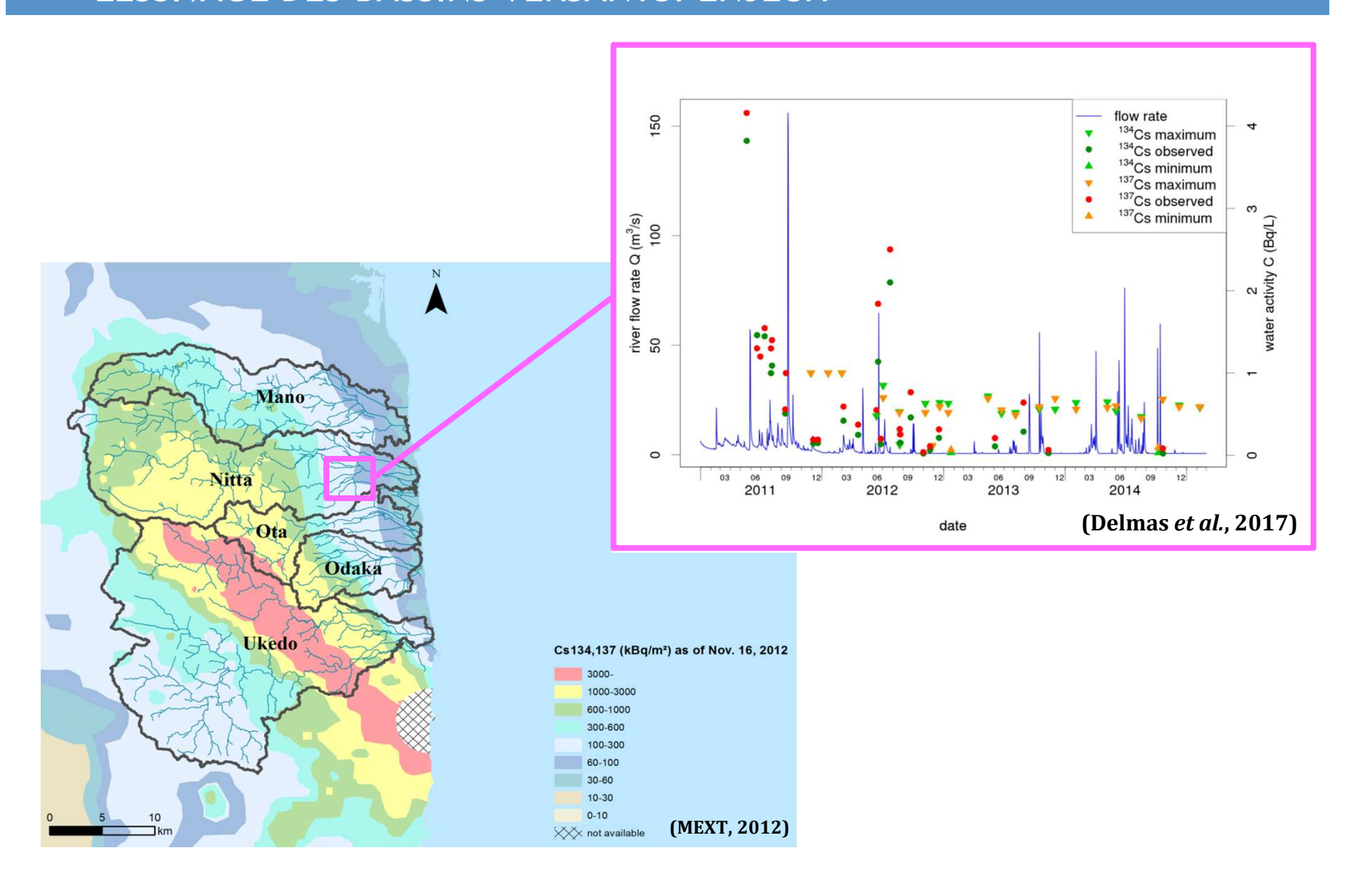
¹IRSN, Saint-Paul-lez-Durance, France ²IRSN, Orsay, France ³University of Tsukuba, Japan



LESSIVAGE DES BASSINS VERSANTS: PROCESSUS ET ÉCHELLES

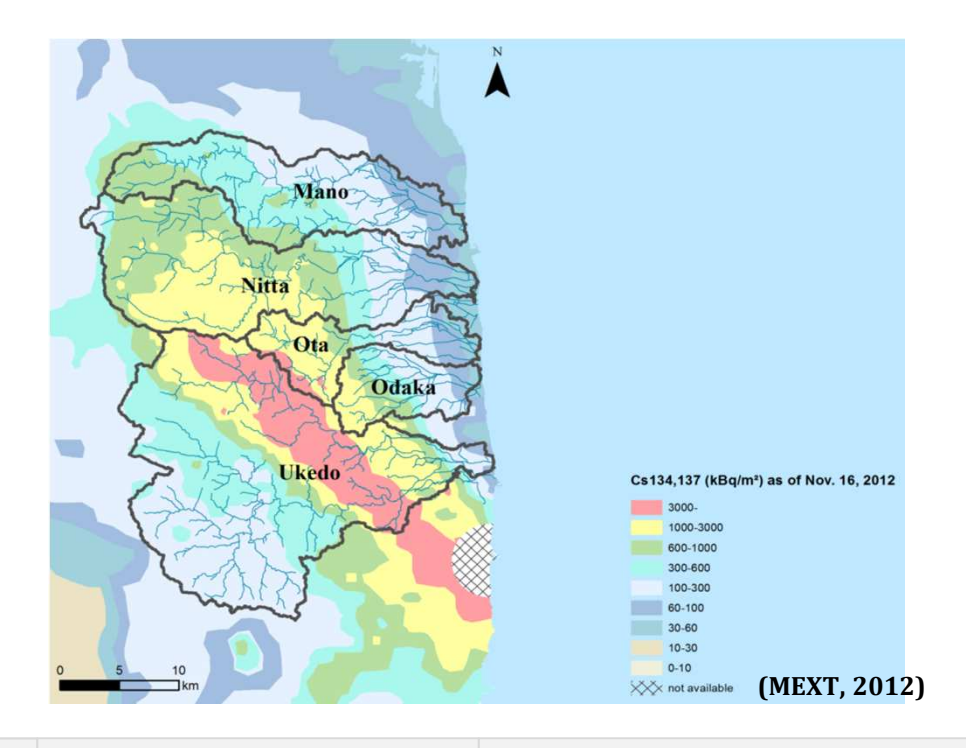


LESSIVAGE DES BASSINS VERSANTS: ENJEUX

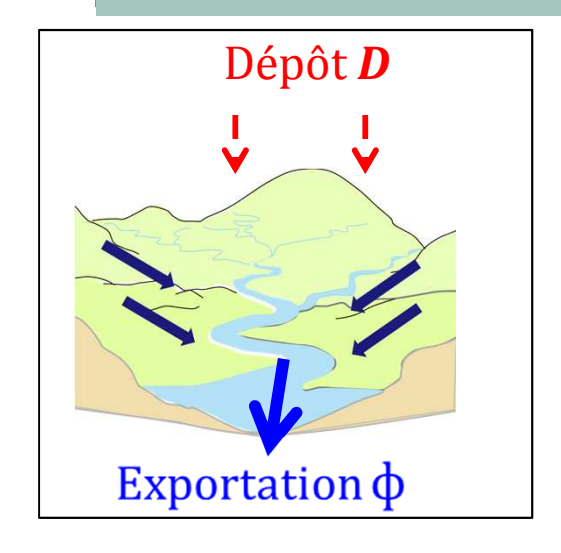


AMORAD/ERO 2013-2019 (Action 3)

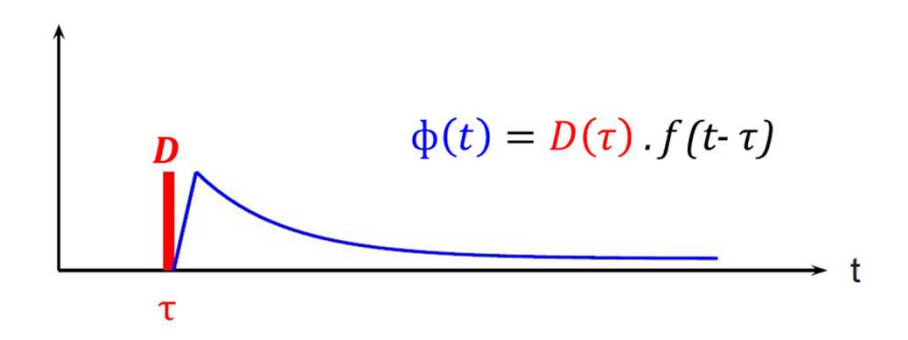
- Objectifs
 - Estimer les flux (134Cs, 137Cs) à la mer autour de Fukushima
 - Améliorer les modèles opérationnels de lessivage (formulation/valeurs/validation)
- Pistes de recherche (M. Delmas, 2014-2016)
 - 1. Fonction de transfert (flux annuels)
 - 2. Facteurs contrôlant les concentrations (méta-analyse)

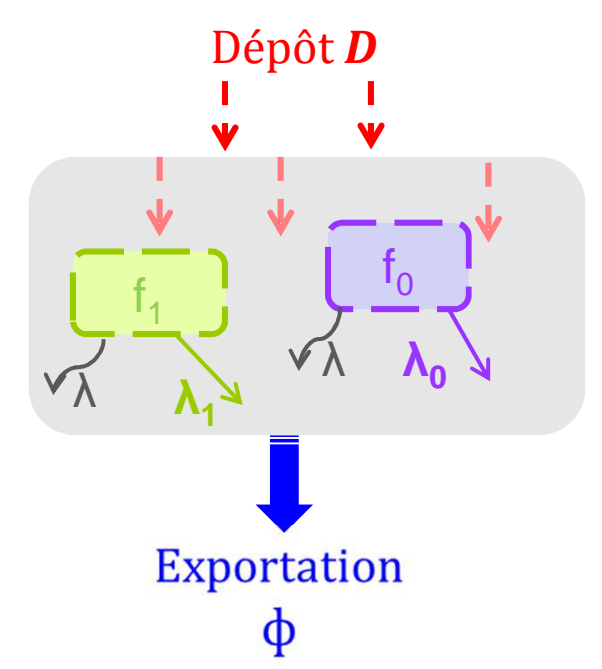


ÉVALUATION DU LESSIVAGE



Fonction de transfert





Formulation classique

$$\Phi = D. \left(\lambda_0 f_0 . e^{-(\lambda + \lambda_0)t} + \lambda_1 f_1 . e^{-(\lambda + \lambda_1)t}\right)$$

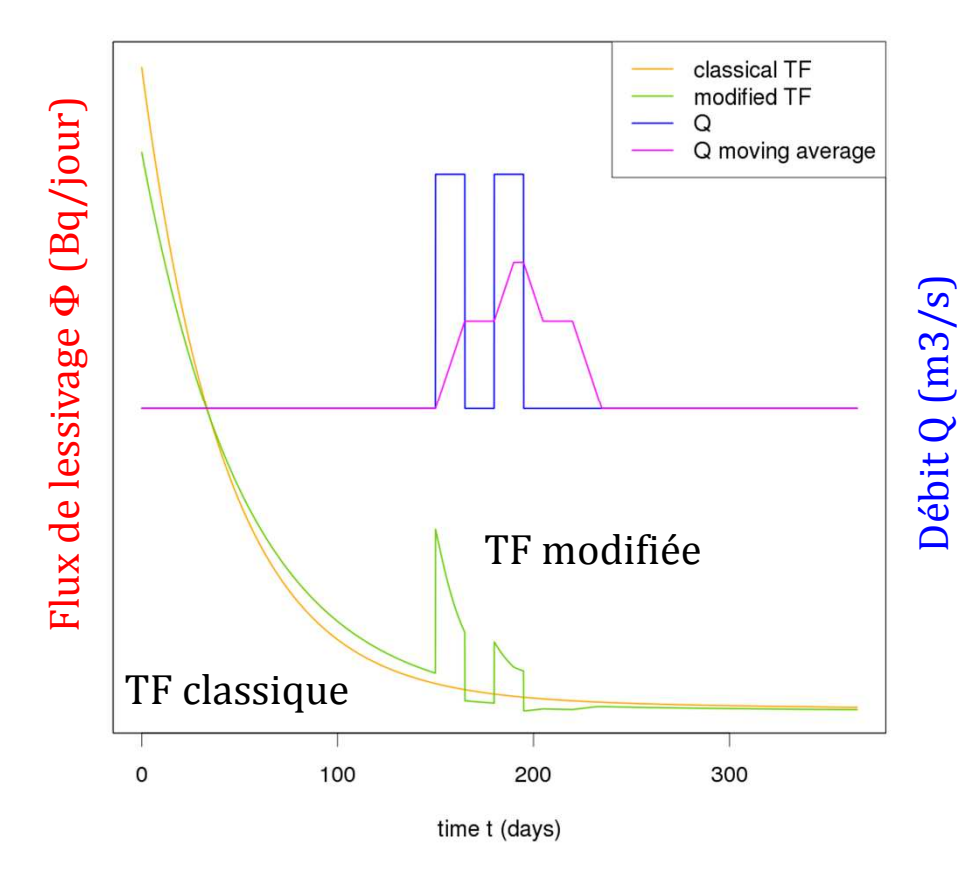
Helton *et al.* (1985); Dominik *et al.* (1987); Monte *et al.* (1995); Smith *et al.* (2000)

Avantages/limites

- échelle temporelle: ~année
- incertitude des paramètres
- peu de paramètres spécifiques pour la préf. de Fukushima
- hydrologie non explicitement prise en compte

FORMULATION MODIFIÉE

$$\phi(t) = D(\tau) G(t) f(t_C - \tau)$$



Effet des fluctuations du débit (Q)

Mémoire de l'histoire récente des débits:

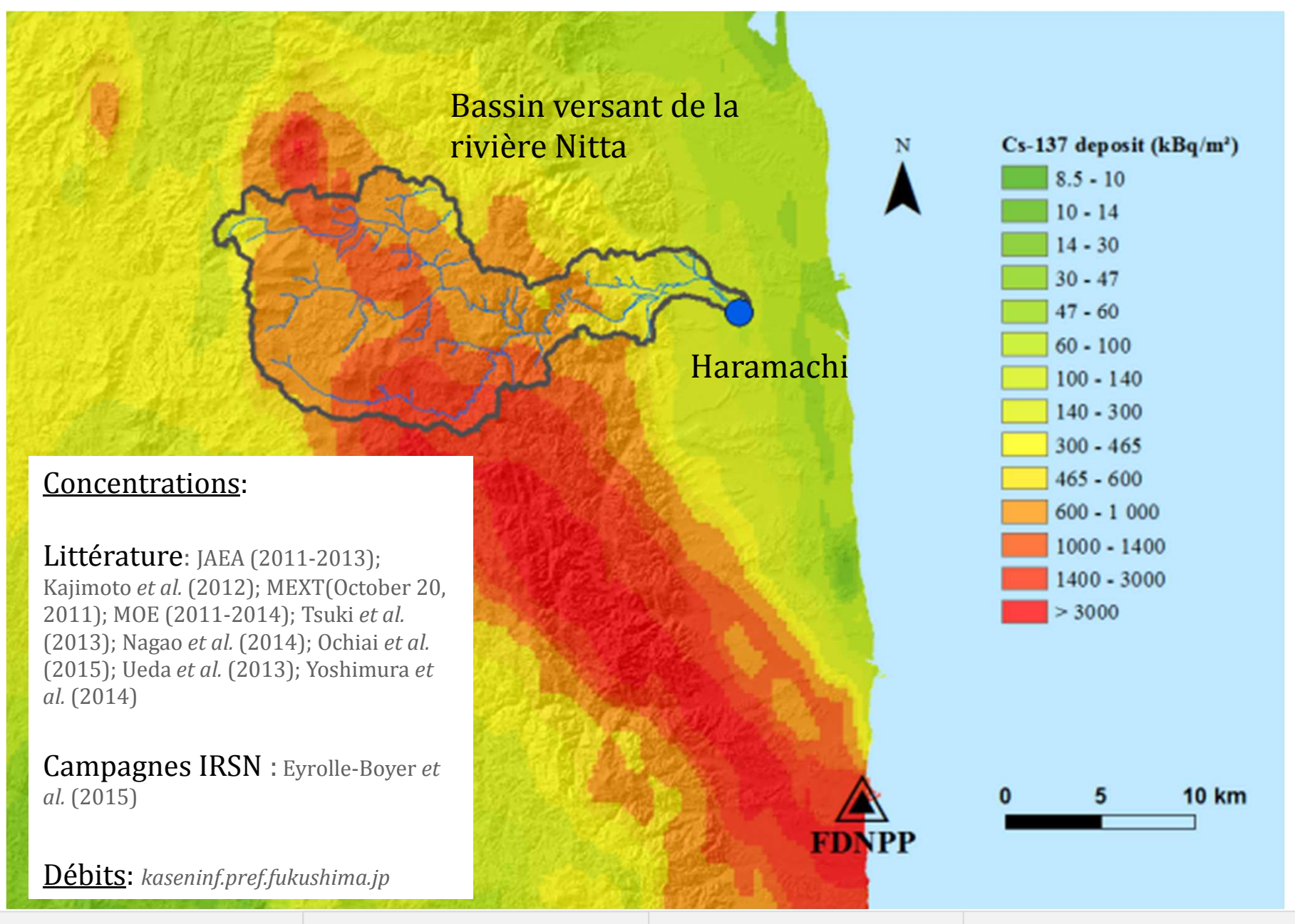
$$G = \frac{Q(t)}{Q_{22d}(t)} \exp\left(-\frac{Q_{85\%}}{Q_{22d}(t)}\right)$$

Effet du volume écoulé

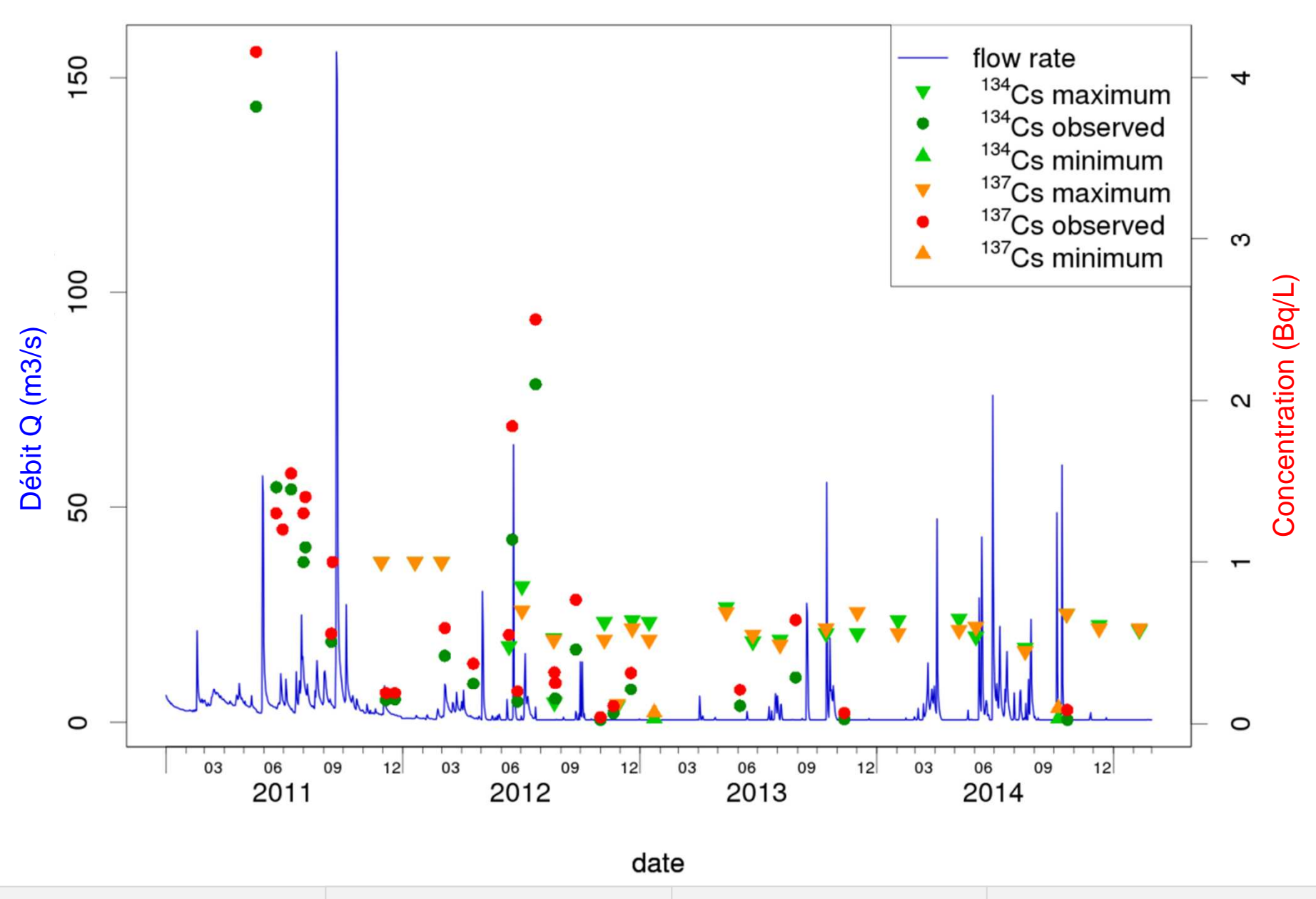
Temps corrigé par le volume d'eau exporté (t_c) (Rhode et al., 1996)

$$t_C = \frac{\int_0^t Q(\tau). \, d\tau}{\bar{Q}}$$

DONNÉES DE SURVEILLANCE



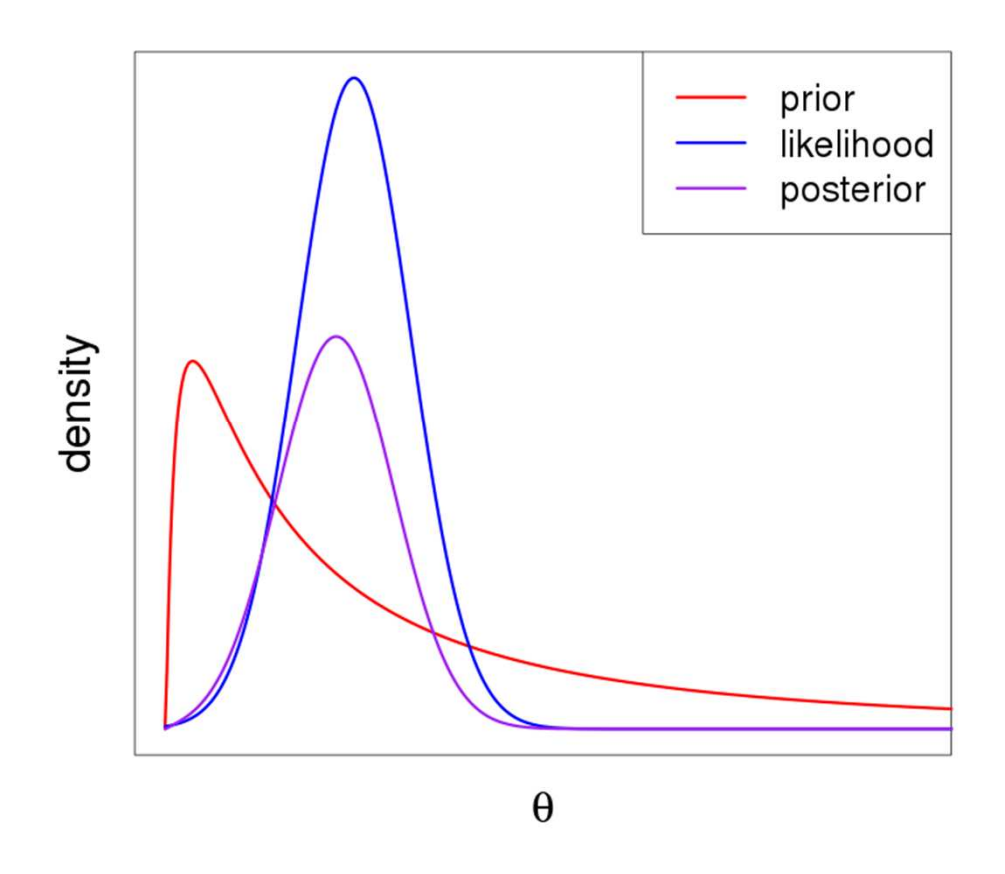
DONNÉES DE SURVEILLANCE



IDENTIFICATION DES PARAMÈTRES

CONTRAINTES

- Peu d'observations
- Données censurées (min, max)



APPROCHE RETENUE (BAYES)

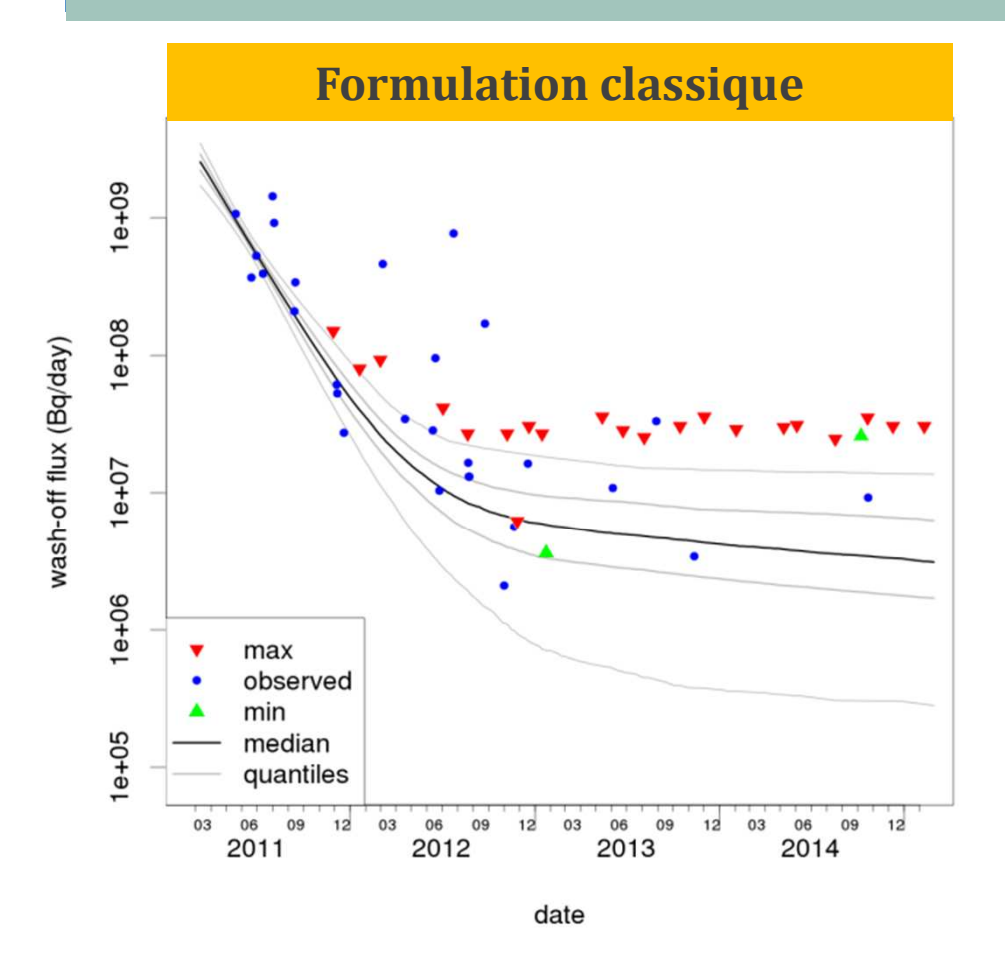
- Connaissance *a priori* P(θ) *Distribution des paramètres (littérature)*
- Observations (y)
 Valeurs de Concentrations
- Modèle $P(y|\theta)$ Fonction de transfert avec erreur

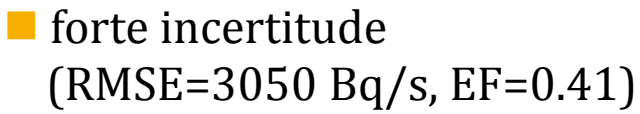
Théorème de Bayes

$$P(\theta|y) \propto P(y|\theta) \times P(\theta)$$

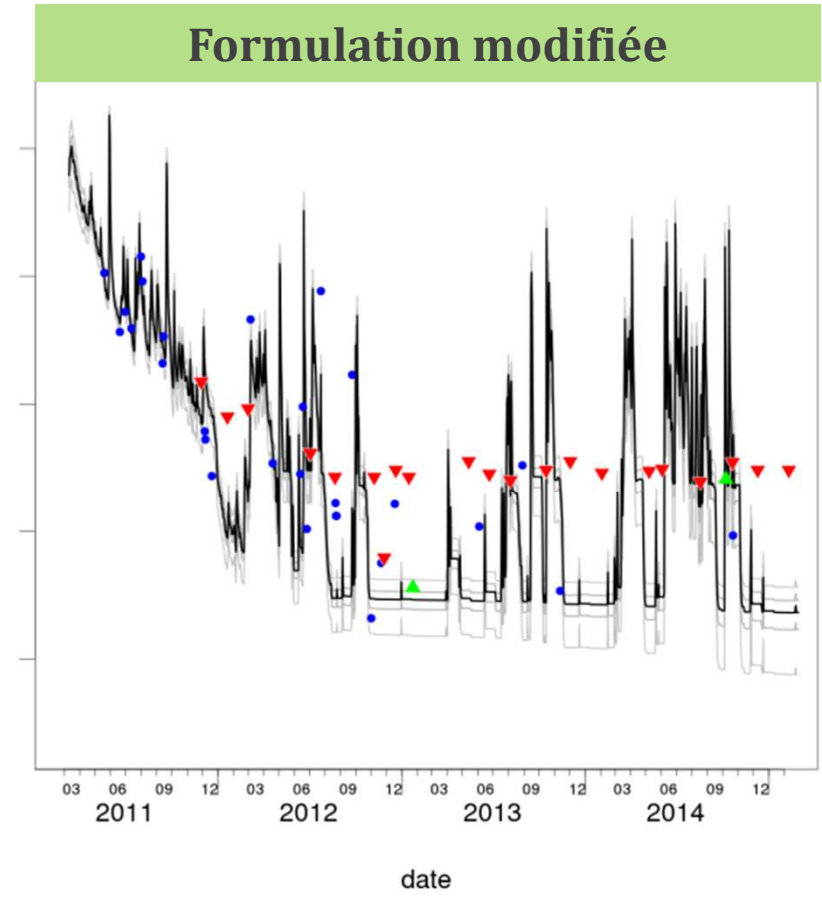
- Résolution Numérique:
 - Algorithme: Markov Chain Monte Carlo (MCMC)
 - Implémentation: GNU MCSim (Bois, 2009)

FLUX AJUSTÉS





export année 1 (%): [0.09-0.11]



- incertitude réduite (RMSE=1600 Bq/s, EF=0.83)
- export année 1(%): [0.21-0.26]

CONCLUSIONS

Methodologique

- l'approche fonction de transfert classique est incertaine
- l'approche modifiée a un meilleur pouvoir explicatif
- l'approche Bayésienne permet d'exploiter toute l'information disponible

Pratique

reconstruction des flux pour la rivière Nitta mais avec pouvoir explicatif limité (\sim 140 MBq/day and \sim 0.6 Bq/L)

Perspectives

- intra bassins: il faudrait plus d'information pour faire la "quadrature" des flux (e.g. conditions hydrologiques)
- inter bassins: comment généraliser à d'autres bassins versants?

CONCENTRATIONS EN 137Cs DANS LES RIVIÈRES : VARIABLES

■ Densité de contamination en ¹³⁷Cs (Bq/m²)

- Totale (Nagao *et al.*, 2014; Ochiai *et al.*, 2015: Eyrolle-Boyer *et al.*, 2016)
- Distribution (Chartin et al., 2013; Evrard et al., 2014; Lepage et al., 2016)

Conditions sur les versants

- Occupation du sol (Shinomiya et al., 2014; Yoshimura et al., 2015)
- Couverture végétale (Yoshimura *et al.*, 2015)

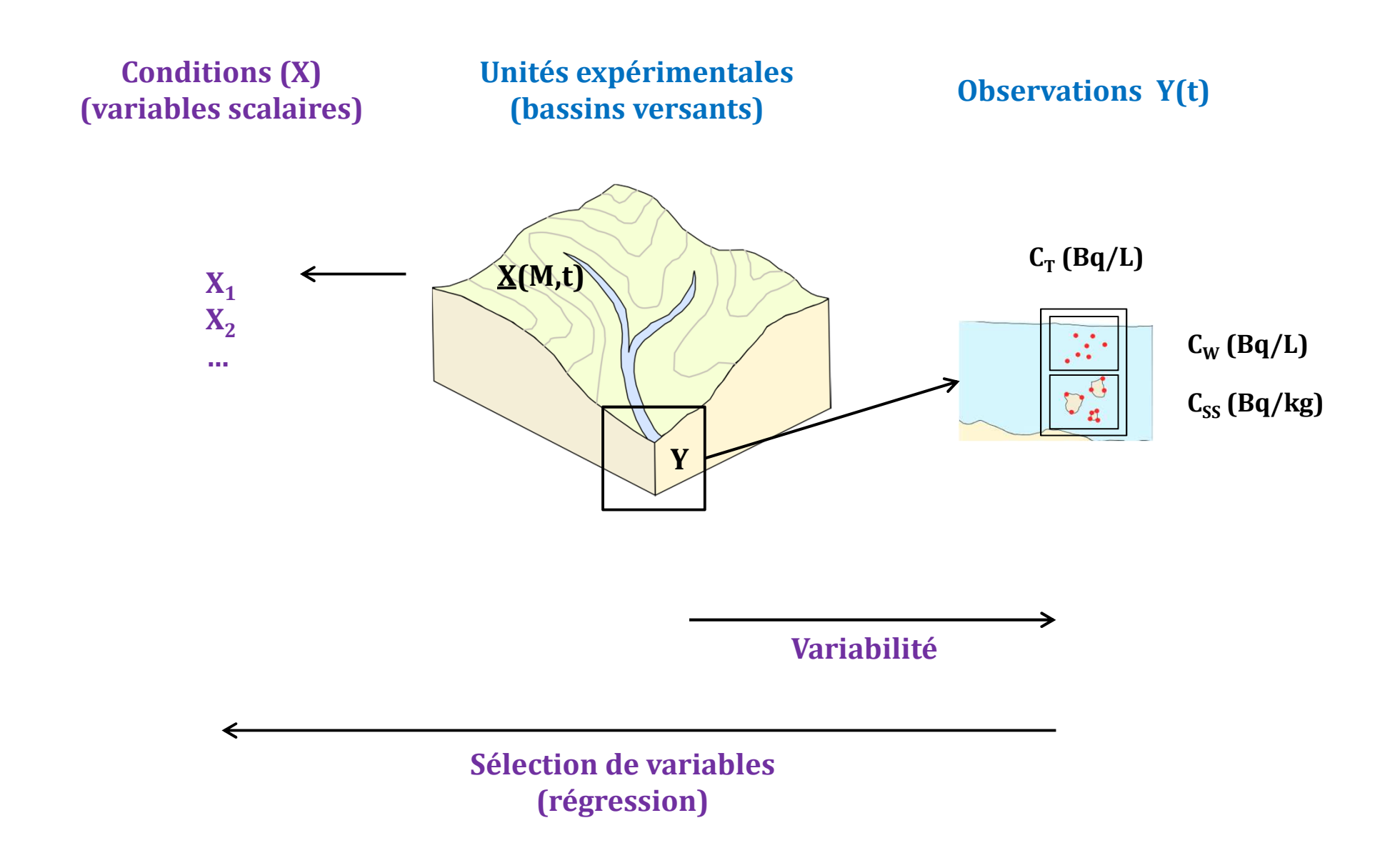
Temps

- **délai** (Iwagami *et al.*, 2015, 2016)
- saison (Tsuji et al., 2016)

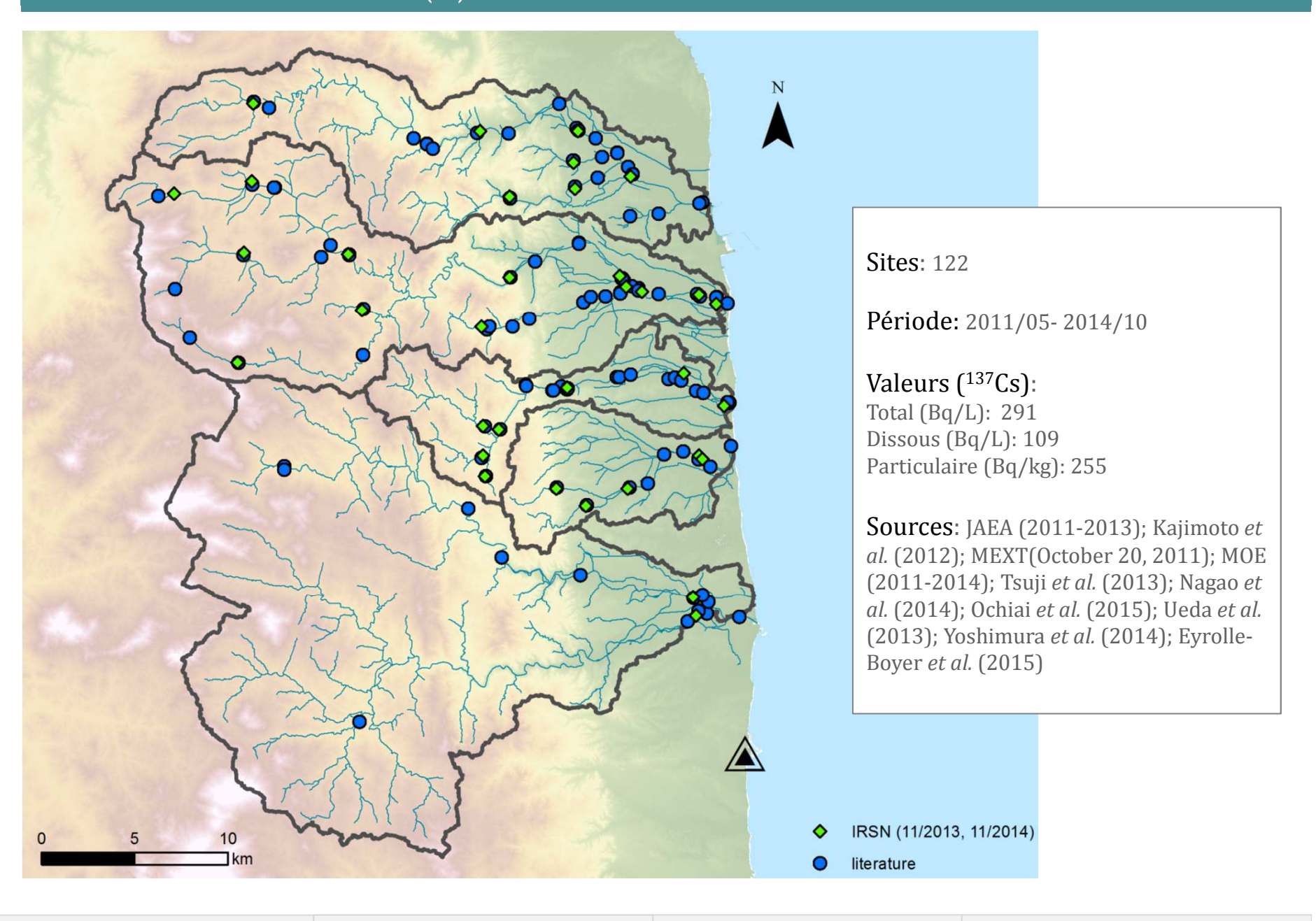
Hydrologie/érosion

- Précipitations (Iwagami *et al.*, 2016)
- Débit de base/crue (Ueda et al., 2013, Nagao et al., 2013)
- Connectivité (Kurikami *et al.*, 2014; Lopez-Vincente *et al.*, 2017)

META-ANALYSE: APERCU



OBSERVATIONS (Y): CONCENTRATIONS EN 137Cs DES RIVIÈRES



CONDITIONS (X): TEMPS ET PRÉCIPITATIONS

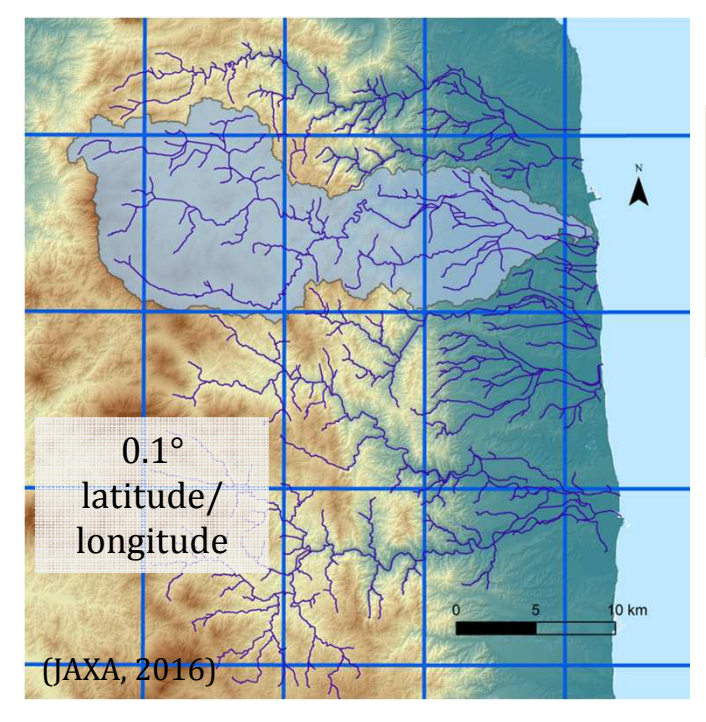
Délai

$$\tau = t - t_0$$

Saison

Printemps (Mars-Juin) Typhon (Juillet-Octobre) Hiver (Novembre-Février)

Pluies antécedentes

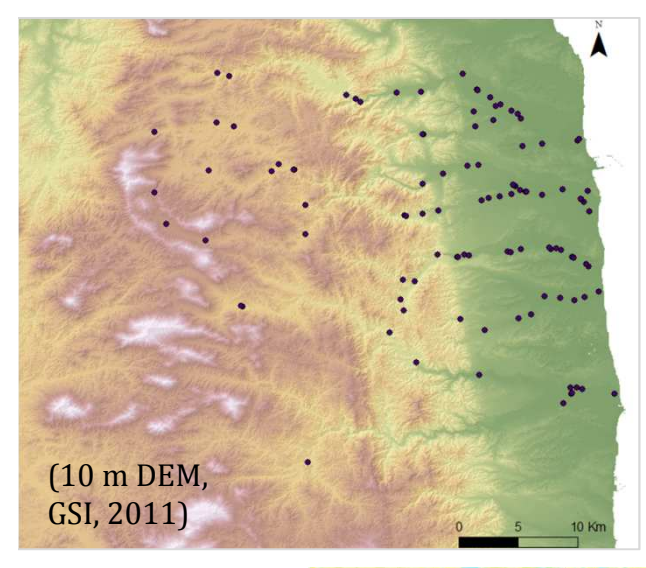


(mm):

R₁₀d

R30d R90d

CONDITIONS (X): MORPHOLOGIE ET OCCUPATION DU SOL



Pente

\overline{SL}	pente moyenne
SL_{G}	proportion de pentes faibles (<5%)
SL_S	proportion de pentes raides (>15%)



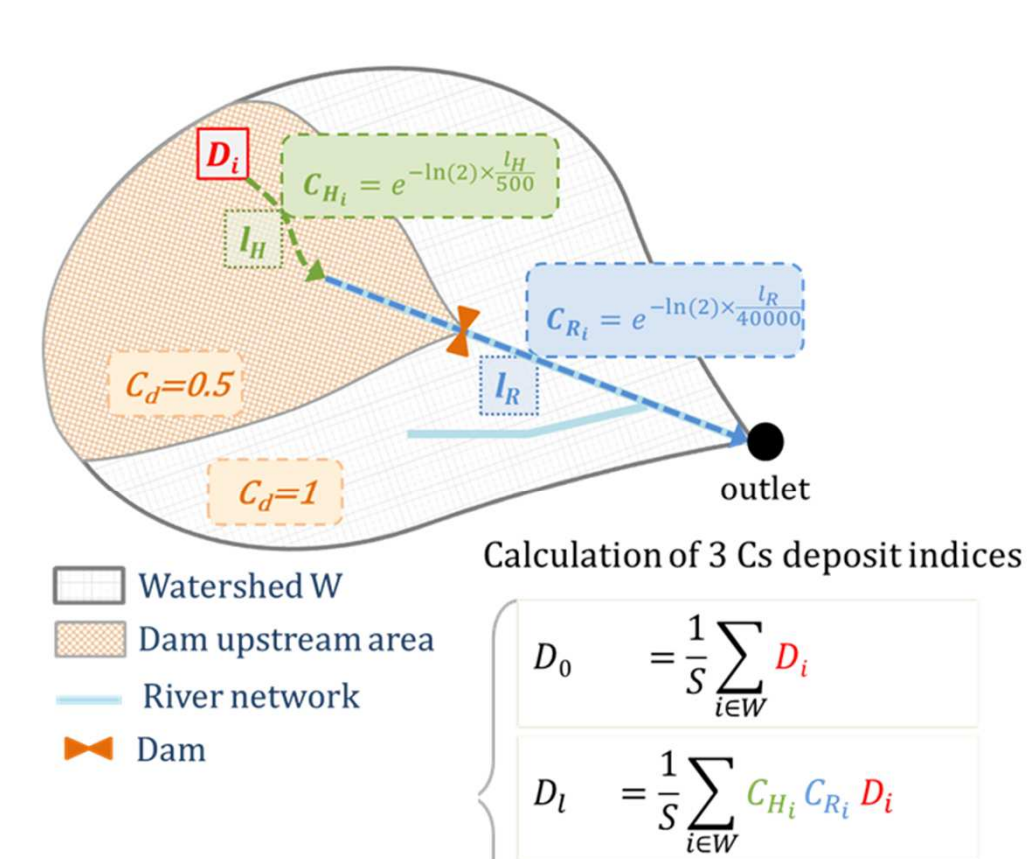
Occupation du sol

Lc_{for} proportion de forêts

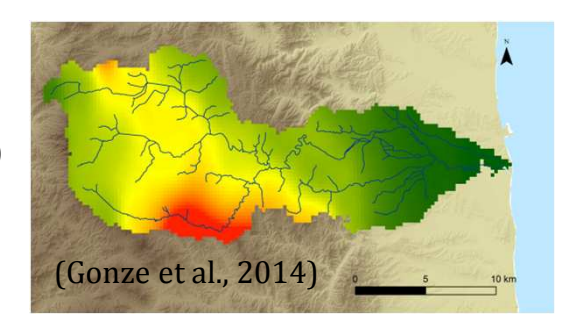
proportion de zones agricoles Lc_{agri}

CONDITIONS (X): DENSITÉ DE CONTAMINATION EN ¹³⁷Cs

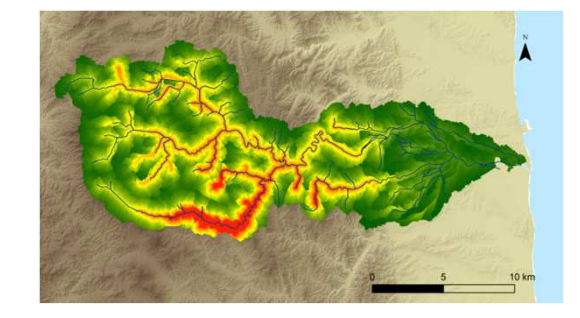
Indices de dépôt



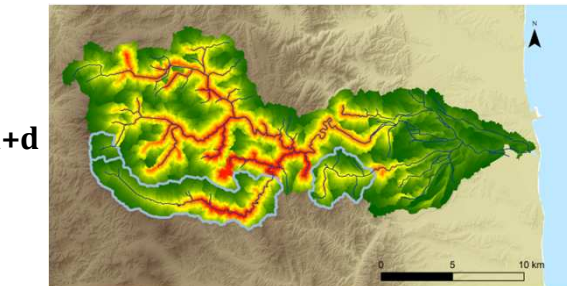
 $\mathbf{D_0}$



 $\mathbf{D_l}$



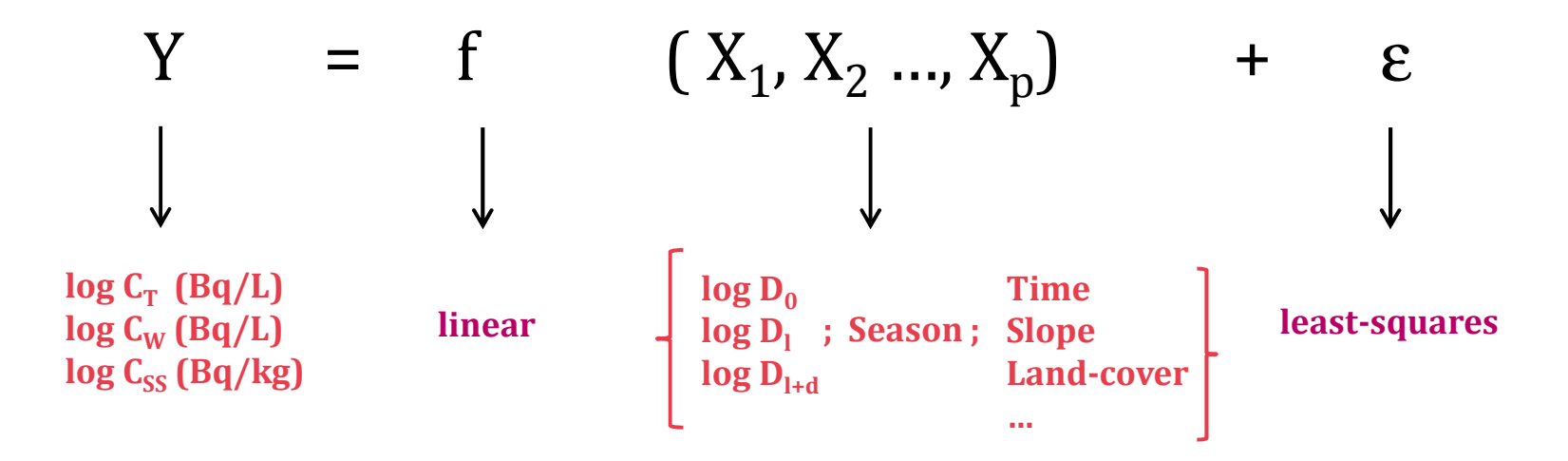
 D_{l+d}



 $D_{l+d} = \frac{1}{S} \sum_{i \in W} C_{H_i} C_{R_i} C_{d_i} D_i$

SÉLECTION DE VARIABLES

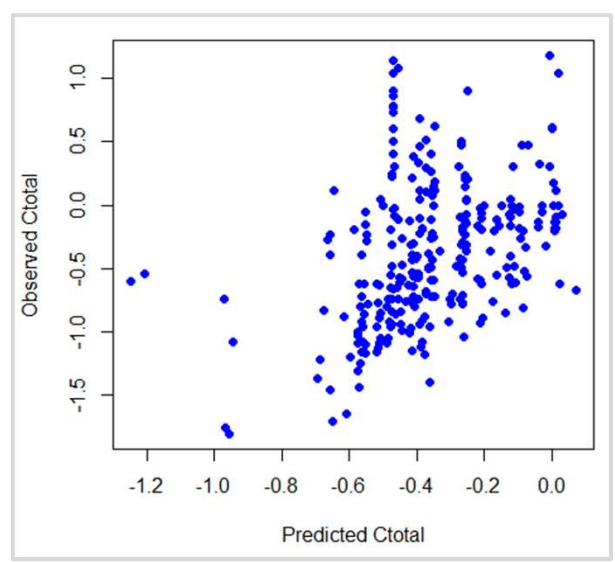
■ Modèles testés:



- Sélection: Critère d'Information d'Akaike (AIC)
 - erreur de modélisation
 - nombre de paramètres

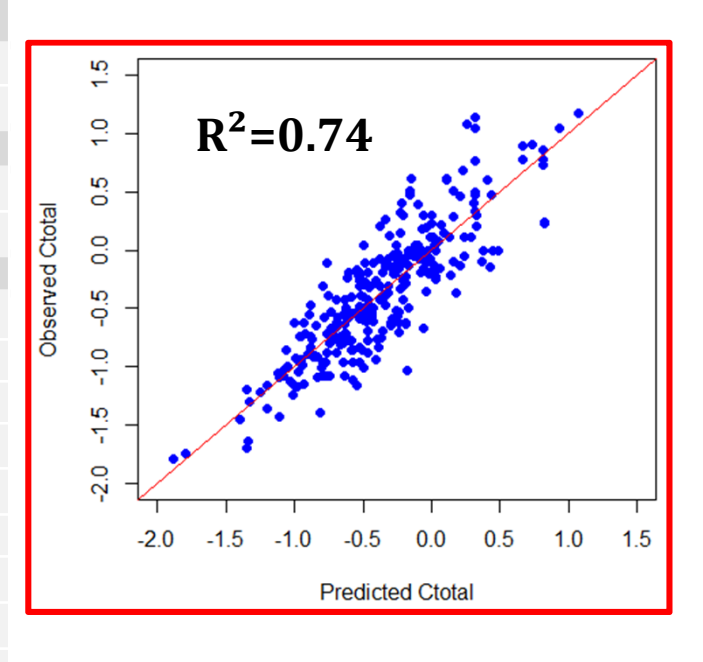
VARIABLES CRITIQUES





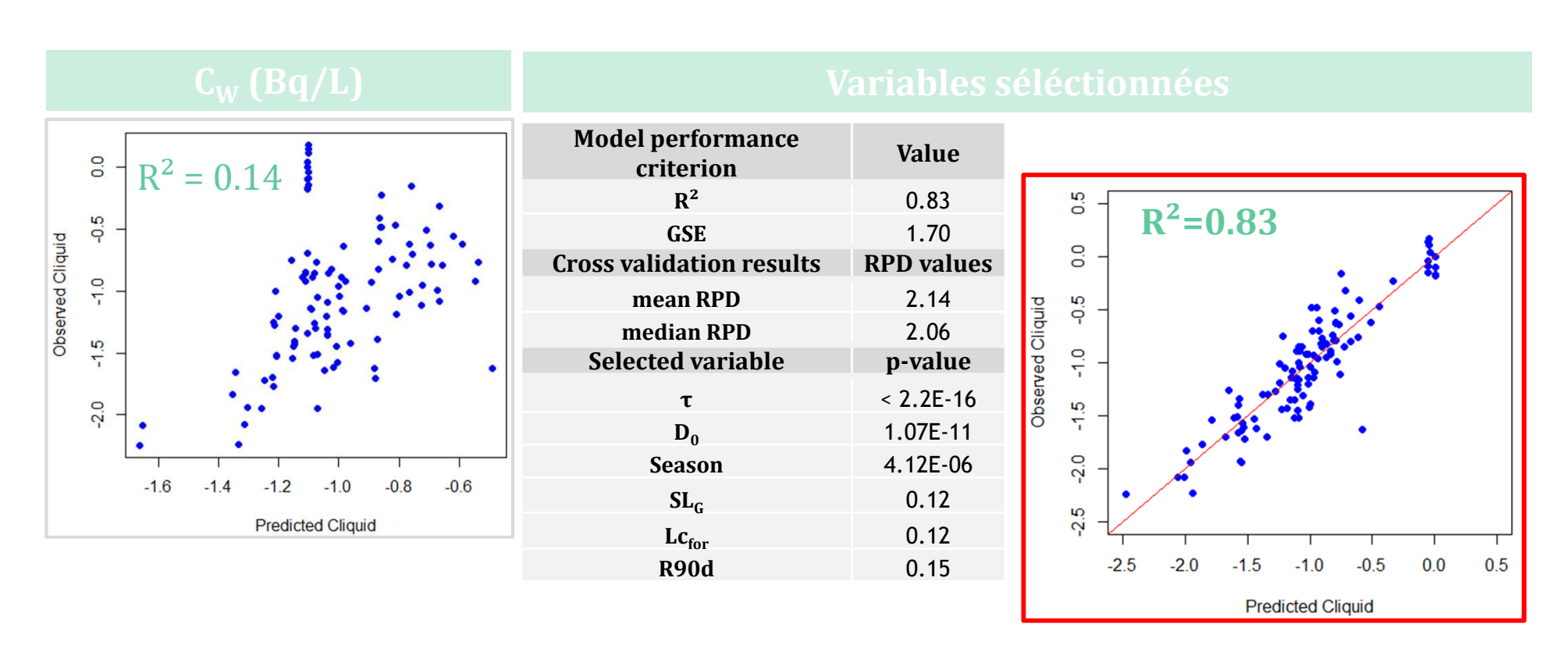
Variables sélectionnées

Model performance criterion	Value
R ²	0.74
GSE	1.91
Cross validation results	RPD values
mean RPD	1.80
median RPD	1.76
Selected variable	p-value
$\mathbf{D_l}$	< 2.2e-16
τ	< 2.2e-16
Season	2.54E-10
SL	8.67E-07
SL_G	1.05E-06
R90d	1.47E-05
LC_{for}	8.67E-05
SL_S	2.32E-04
$\mathrm{LC}_{\mathrm{agri}}$	1.17E-03
R30d	5.56E-03



 D_l : suggère une origine locale du 137 Cs total (près du réseau hydrographique)

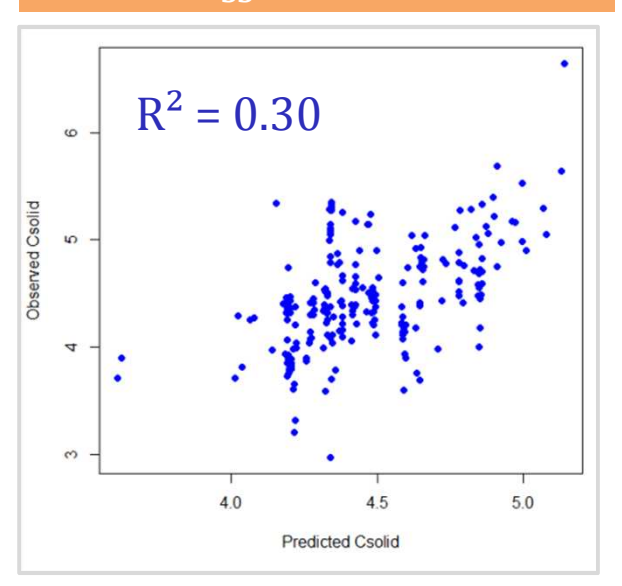
VARIABLES CRITIQUES



 D_0 : suggère une origine diffuse du $^{137}\mathrm{Cs}$ dissous

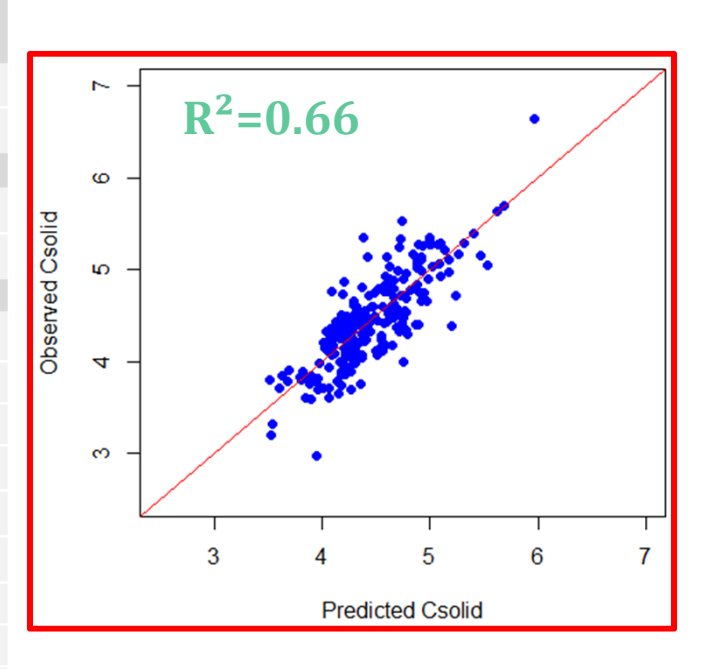
VARIABLES CRITIQUES

C_{SS} (Bq/kg)



Variables sélectionnées

Model performance criterion	Value
$\mathbf{R^2}$	0.66
GSE	1.91
Cross validation results	RPD values
mean RPD	1.56
median RPD	1.53
Selected variable	p-value
D_{l+d}	< 2.2E-16
LC_{agri}	5.46E-08
LC°_{for}	6.04E-05
Season	1.16E-04
SL_G	2.43E-04
\overline{SL}	6.50E-03
τ	1.80E-02
R90d	2.92E-02
R10d	4.65E-02



 $\rm D_{l+d}$: suggère une effect tampon des barrages sur le $^{137}\rm Cs$ particulaire

CONCLUSIONS

- Variabilité des concentrations en ¹³⁷Cs des rivières
 - grandes dissimilarités (2-3 ordres de grandeur)...
 - ... essentiellement multifactorielless
 - les variables critiques sont généralement dépôt et temps
 - le dépôt pondéré est un indicateur pertinent du terme source
 - d'autres propriétés sont aussi critiques: pente, occupation du sol...
- Pour améliorer l'évaluation du lessivage
 - calculer des descripteurs à partir de l'information SIG disponible
 - les inclure dans les outils:
 - typologie des bassins versants
 - relation empiriques (e.g. fonction de transfert) par type de bassin versant